Date: 08/08/2011 Page: 1/9 Responsable: Sylvie GRANET Clé: V7.31.131 Révision: 7072

WTNV131 - Diffusion d'air dissous dans l'eau (3D)

Résumé:

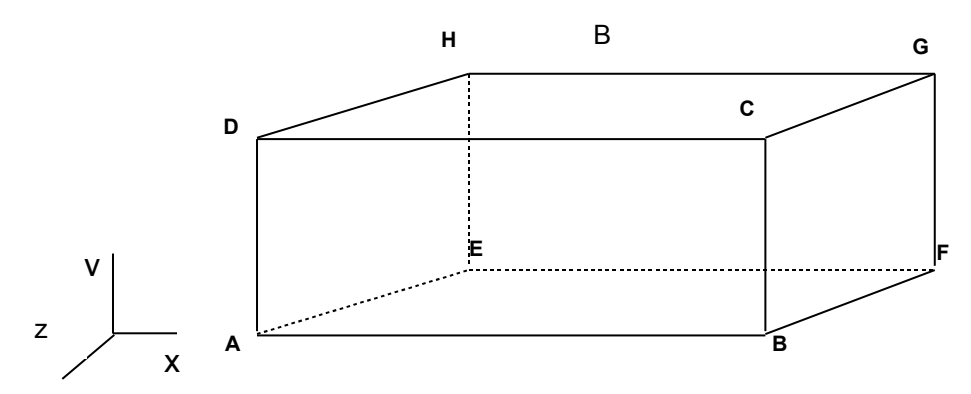
On considère ici un problème à température et saturation constantes. Par des conditions aux limites appropriées on impose une pression d'eau et une pression de vapeur constantes. Une pression de gaz est imposée sur un bord du domaine (flux nuls de l'autre coté). Seules les pressions d'air sec et d'air dissous reliées par la loi de Henry évoluent. Ce problème se ramène à une équation pour la pression d'air sec de type « équation de la chaleur ». La solution de référence sera alors un calcul thermique ASTER. Ce cas test est l'extension 3D du cas test WTNP103.

Date: 08/08/2011 Page: 2/9 Responsable: Sylvie GRANET Clé: V7.31.131 Révision: 7072

Problème de référence

Géométrie

On considère un barreau de longueur 1m et de section $0.1m \times 0.1m$.



Coordonnées des points (m):

Propriétés du matériau 1.2

On ne donne ici que les propriétés dont la solution dépend. Le fichier de commandes contient d'autres données de matériau (modules d'élasticité, conductivité thermique ...) qui ne jouent aucun rôle dans la solution du problème traité.

Eau liquide	Masse volumique ($kg.m^{-3}$)	10 ³
	Chaleur massique à pression constante ($J.K^{-1}$)	0.
	Viscosité dynamique de l'eau liquide ($Pa.s$)	0.001 0.
	coefficient de dilatation thermique du liquide (K^{-1})	$kr_w(S) = 0.5$
	Perméabilité relative à l'eau	$W_{W}(\mathcal{S})$
Vapeur	Chaleur massique ($J.K^{-1}$)	0.
	Masse molaire($kg.mol^{-1}$)	0,01
Gaz	Chaleur massique ($J.K^{-1}$)	0.
	Masse molaire($kg.mol^{-1}$)	0,01
	Perméabilité relative au gaz	$kr_{gz}(S) = 0.5$
	Viscosité du gaz ($kg.m^{-1.s^{-1}}$)	0.001
Air dissous	Chaleur massique (JK^{-1})	0.
	Constante de Henry ($Pa.m^3.mol^{-1}$)	50000
Etat initial	Porosité	1
	Température (K)	300

Respons

TNV131 - Diffusion d'air dissous dans l'eau (3D) able : Sylvie GRANET		Date : 08/08/2011 Page : 3/9 Clé : V7.31.131 Révision : 7072
	Pression de gaz (Pa)	1.01E5
	Pression de vapeur (Pa)	1000
	Pression capillaire (Pa)	1. ^E 6
	Saturation initiale en liquide	0,4
Constantes	Constante des gaz parfaits	8,32
Coefficients	Masse volumique homogénéisée ($kg.m^{-3}$)	2200
homogénéisés	Isotherme de sorption	$S(P_c) = 0.4$
	Coefficient de Biot	0
	Fick Vapeur ($m^2 S^{-1}$)	FV = 0
	Fick air dissous ($m^2 \cdot s^{-1}$)	FA=6.E-10
	Perméabilité intrinsèque (m^2)	Kint = 1.E - 19

1.3 Conditions aux limites et chargements

Sur l'ensemble du domaine, on veut :

$$p_{w} = cte = p_{w}^{0}$$

$$\frac{1}{K_{w}} = 0 \Rightarrow \rho_{w} = cte = \rho_{w}^{0}$$

$$p_{vp} = cte = p_{vp}^{0}$$

$$F_{vp} = 0$$

$$S(p_{c}) = cte = S_{0}$$

$$T = cte = T^{0}$$

$$\varphi = 1$$

$$M_{as}^{ol} = M_{vp}^{ol} = M_{ad}^{ol}$$

Sur tous les bords : Flux hydrauliques et thermiques nuls.

On va maintenant linéariser $\,p_{_{V\!P}}\,$ en fonction de $\,p_{_W}\,$

Ecriture de $\,p_{\scriptscriptstyle \it VP}\,$ fonction linéaire de $\,p_{\scriptscriptstyle \it W}\,$:

La section 4.2.3 du document de référence *Aster* [R7.01.11] nous donne la relation : $\frac{dp_{vp}}{p_{vp}} = \frac{M_{vp}^{ol}}{RT} \frac{dp_{w}}{\rho_{w}}.$

Si on linéarise cette expression on obtient :
$$p_{vp} = \frac{p_{vp}^0}{RT} \frac{M_{vp}^{ol}}{\rho_w^0} p_w + \left(p_{vp}^0 - \frac{p_{vp}^0}{RT} \frac{M_{vp}^{ol}}{\rho_w^0} p_w^0 \right)$$

que l'on peut écrire sous la forme :

$$p_{vp} = Ap_w + B eq 1.3-1$$

Responsable : Sylvie GRANET

Date: 08/08/2011 Page: 4/9 Clé: V7.31.131 Révision: 7072

avec
$$A = \frac{p_{vp}^{0}}{RT} \frac{M_{vp}^{ol}}{\rho_{w}^{0}}$$
 et $B = p_{vp}^{0} - \frac{p_{vp}^{0}}{RT} \frac{M_{vp}^{ol}}{\rho_{w}^{0}} p_{w}^{0}$

Sur le bord gauche du barreau (
$$AEHD$$
) on impose
$$\begin{cases} p_{\it gz} = 115000 & Pa \\ pc = 10^6 & Pa \end{cases}$$

Date: 08/08/2011 Page: 5/9

Titre: WTNV131 - Diffusion d'air dissous dans l'eau (3D)

Responsable : Sylvie GRANET Clé : V7.31.131 Révision : 7072

2 Solution de référence

2.1 Méthode de calcul

2.1.1 Calcul de la conservation de la masse d'air

La conservation de la masse de gaz s'écrit :

$$\frac{dm_{air}}{dt} + div(\mathbf{M}_{as} + \mathbf{M}_{ad}) = 0$$
 éq 2.1.1-1

On écrit que la masse totale d'eau et la masse totale d'air sont conservées (car il n'y a pas de flux d'eau ni de gaz au bord) et on obtient :

$$m_{air} = m_{as} + m_{ad} = S_0(\rho_{ad} - \rho_{ad}^0) + (1 - S_0)(\rho_{as} - \rho_{as}^0)$$

donc

$$d(m_{as} + m_{ad}) = S_0 d\rho_{ad} + (1 - S_0) d\rho_{as}$$
 éq 2.1.1-2

$$d\rho_{as} = \frac{M_{as}^{ol}}{RT} dP_{as} \text{ et } d\rho_{ad} = \frac{M_{ad}^{ol}}{K_H} dP_{as}$$

$$\frac{dm_{air}}{dt} = \left(S_0 \cdot \frac{M_{as}^{ol}}{K_H} + (1 - S_0) \cdot \frac{M_{as}^{ol}}{RT}\right) \frac{dP_{as}}{dt}$$

Calcul des vitesses :

$$\frac{\mathbf{M}_{as}}{\rho_{as}} = \lambda_{gz}(-\nabla P_{as})$$
 éq 2.1.1-3

puisque $F_{vp}=0$ et $\nabla P_{vp}=0$ et $\mathbf{M}_{\mathrm{ad}}=\boldsymbol{\rho}_{ad}\,\lambda_{lq}(-\nabla\,P_{lq})-F_{ad}\,\nabla\,C_{ad}$ avec $C_{ad}=\boldsymbol{\rho}_{ad}\,\Delta_{lq}$

Comme
$$\nabla P_{lq} = \nabla P_w + \nabla P_{ad} = \nabla P_{ad} = \frac{RT}{K_H} \nabla P_{as}$$

$$\mathbf{M}_{ad} = \rho_{ad} \lambda_{lq} \frac{RT}{K_H} (-\nabla P_{as}) - \frac{M_{ad}^{ol}}{K_H} F_{ad} \nabla P_{as}$$

[éq 2.1.1-1] peut alors se simplifier sous la forme suivante :

$$C\frac{dP_{as}}{dt} = Ldiv(\nabla P_{as})$$

$$\begin{cases} C = S_0 \cdot \frac{M_{as}^{\ ol}}{K_H} + (1 - S_0) \frac{M_{as}^{\ ol}}{RT} \\ L = \rho_{as}^0 \lambda_{gz} + \frac{RT}{K_H} \rho_{ad}^0 \lambda_{lq} + \frac{M_{as}^{\ ol}}{K_H}.F_{ad} \end{cases}$$

Equation de la chaleur classique que l'on traite par un calcul thermique.

Date: 08/08/2011 Page: 6/9 Responsable: Sylvie GRANET Clé: V7.31.131 Révision: 7072

2.2 Résultats de référence

Avec les valeurs numériques précédentes, on trouve :

$$P_{as} = 10^{5} \Rightarrow P_{ad}^{0} = \frac{RT}{K_{H}} P_{as}^{0} = 4992$$

$$\rho_{as}^{0} = \frac{M_{as}^{ol}}{RT} P_{as}^{0} = 0.4 \text{ et } \rho_{ad}^{0} = \frac{M_{ad}^{ol}}{RT} P_{ad}^{0} = 0.02$$

$$\rho_{vp}^0 = \rho_{vp} = 4.10^{-3}$$

Les constantes de l'équation de la chaleur sont alors :

$$C = 2,48.10^{-6}$$

 $L = 1,4.10^{-16}$

2.3 **Incertitudes**

Les incertitudes sont assez grandes étant donné que la solution quasi-analytique (fruit d'un calcul thermique) est une solution approchée du fait de la linéarisation des équations.

Date: 08/08/2011 Page: 7/9 Responsable: Sylvie GRANET Clé: V7.31.131 Révision: 7072

Modélisation A 3

Caractéristiques de la modélisation A 3.1

Modélisation en 3D: 3D THH2D 203 éléments Tetra10.

3.2 Grandeurs testées et résultats

On rappelle que la température issue du calcul thermique correspond à la pression d'air sec de notre calcul thermo-hydro-mécanique. La pression de vapeur étant constante on a :

$$P_{gz} = PRE2^{DDL} + PRE2^{init} = P_{vp}^{0} + P_{as}$$

X(m)	Temps (s)	PRE2 Aster	PRE2 calcul thermique	Erreur relative
, ,	, ,			(%)
0,2	3E9s	1.127E4	1.120E4	0.7%
0,2	5E9s	1.227E4	1.223E3	0.31%
0,5	3E9s	6617	6570	0.72%
0,5	5E9s	8743	8685	0.67%

Date: 08/08/2011 Page: 8/9 Responsable: Sylvie GRANET Clé: V7.31.131 Révision: 7072

Modélisation B 4

4.1 Caractéristiques de la modélisation B

Même chose que la modélisation A mais en modélisation sélective : 3D THH2S.

4.2 Grandeurs testées et résultats

On rappelle que la température issue du calcul thermique correspond à la pression d'air sec de notre calcul thermo-hydro-mécanique. La pression de vapeur étant constante on a :

$$P_{gz} = PRE2^{DDL} + PRE2^{init} = P_{vp}^{0} + P_{as}$$

X(m)	Temps (s)	PRE2 Aster	PRE2 calcul thermique	Erreur relative
,	- (/		•	(%)
0,2	3E9s	1.127E4	1.120	0.59%
0,2	5E9s	1.227E4	1.223E3	0.43%
0,5	3E9s	6617	6570E3	3%
 0,5	5E9s	8743	8685	2.2%

Date: 08/08/2011 Page: 9/9 Responsable: Sylvie GRANET Clé: V7.31.131 Révision: 7072

Synthèse des résultats 5

Les résultats Aster sont en très bon accord avec la solution semi-analytique.